

بِنَامِ خَدا



مرکز دانلود رایگان  
محدودیت‌پورزی و مفهود

---

[www.Iran-mavad.com](http://www.Iran-mavad.com)



## مطالعه تاثیر عملیات حرارتی همگن‌سازی از طریق ذوب جزئی بر خواص

### مکانیکی چدن نشکن آستمپر شده

مسعود مصلایی پور<sup>۱</sup>، عصمت داستانپور<sup>۲</sup>، مهدی دهقان<sup>۲</sup>، فرشته عادل مهربان<sup>۲</sup> و علیرضا دهقانی<sup>۲</sup>

### چکیده

خواص مکانیکی مطلوب بهمراه مقاومت به سایش عالی چدن‌های نشکن آستمپر شده (Austempered Ductile Iron: ADI) موجب کاربرد گسترده‌ی این گروه از مواد در صنایع مختلفی از قبیل خودروسازی، کشاورزی و غیره شده است. مهمترین عامل موثر بر کارائی چدن‌های ADI ترکیب شیمیایی و توزیع یکنواخت عناصر آلیاژی در زمینه آنها می‌باشد؛ بطوریکه هر گونه جدایش و توزیع غیریکنواخت عناصر آلیاژی موجب تاثیرات نامطلوبی بر خواص مکانیکی این گروه از مواد می‌گردد. در این پژوهش برخلاف تحقیقات قبلی از عملیات حرارتی همگن‌سازی توسط ذوب جزئی برای حصول توزیع یکنواخت عناصر آلیاژی در زمینه چدن‌های نشکن استفاده شد. مطالعات ریزساختاری همراه با آزمون فازی XRD حاکی از قابلیت عملیات همگن‌سازی از طریق ذوب جزئی در ایجاد ریزساختاری کاملاً یکنواخت بعد از عملیات آستمپرینگ دارد. عملیات همگن‌سازی مذکور موجب کاهش  $^{30}$  درصدی میزان آستانتیت باقیمانده ناپایدار در نمونه‌های آستمپر شده می‌شود. ارزیابی استحکام کششی و مقاومت به ضربه همراه با شکست نگاری سطوح شکست دلالت بر تاثیرات مثبت عملیات همگن‌سازی از طریق ذوب جزئی بر خواص مکانیکی چدن‌های ADI دارد.

**واژه‌های کلیدی:** چدن نشکن، ADI، عملیات آستمپرینگ، جدایش، همگن‌سازی توسط ذوب جزئی.

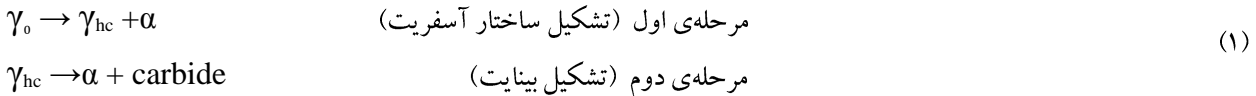
۱- استادیار، دانشکده مهندسی مواد و معدن، دانشگاه یزد.

۲- دانشجوی کارشناسی، مهندسی مواد و معدن، دانشگاه یزد.

## ۱- مقدمه

چدن‌های نشکن آستمپر شده (Austempered Ductile Iron :ADI) بدلیل دارا بودن مجموعه‌ای از خواص مکانیکی مطلوب، مقاومت سایشی خوب، قیمت مناسب، قابلیت ریخته‌گری و غیره در صنایع مختلفی از قبیل صنعت خودروسازی، کشاورزی، ساختمان‌سازی، تجهیزات نظامی و غیره مورد توجه و استفاده واقع شده است [۲۱].

ADI توسط اعمال عملیات حرارتی آستمپرینگ بر چدن نشکن با ترکیب شیمیایی مناسب حاصل می‌شود. عملیات آستمپرینگ شامل آستنتیه نمودن کامل چدن در دمای  $900 \pm 50^{\circ}\text{C}$ ، سریع سرد کردن به دمای آستمپرینگ ( $350 \pm 100^{\circ}\text{C}$ ) و نگهداری برای مدت زمان مناسب در دمای آستمپرینگ و در ادامه سرد نمودن در هوای دمای محیط می‌باشد [۳۴]. عملیات آستمپرینگ موجب توسعه ساختار آسفریت (مخلوطی از فریت سوزنی و آستنتیت پایدارشده غنی از کربن) در زمینه ADI می‌شود که موجب توسعه‌ی خواص مکانیکی عالی و دیگر خصوصیات مطلوب این گروه از مواد می‌گردد [۵]. استحاله‌ی آستمپرینگ در چدن‌های نشکن یک واکنش دو مرحله‌ای (واکنش ۱) می‌باشد [۶۷]:



در مرحله‌ی اول استحاله‌ی آستمپرینگ، آستنتیت زمینه‌ی ( $\gamma_0$ ) به صورت همدما به ساختار آسفریت تبدیل می‌شود. در ادامه (مرحله‌ی دوم)، خارج شدن کربن از آستنتیت پایدارشده ( $\gamma_{\text{hc}}$ ) موجب تشکیل کاربید و ناپایداری فاز آستنتیت می‌شود که حین سرد شدن تا دمای محیط به فاز مارتزیت تبدیل شده و افت چشمگیر خواص مکانیکی را به همراه دارد [۸].

یکی از راهکارهای افزایش قابلیت آستمپرپذیری<sup>۱</sup> (Austemperability) چدن‌های نشکن، اضافه نمودن عناصر آلیاژی به ترکیب شیمیایی آنها می‌باشد [۹]. عناصر Mo، Mn و Ni با قابلیت افزایش سختی‌پذیری چدن‌های نشکن و جلوگیری از تشکیل فازهای یوتکتوئیدی حین سرد شدن از دمای آستنتیت تا درجه حرارت آستمپرینگ موجب بهبود قابلیت آستمپرپذیری چدن‌های نشکن می‌شود [۱۰]. اما جدایش نسبتاً شدید عناصر آلیاژی حین انجماد یوتکتیکی مذاب چدن‌های نشکن باعث تاثیرات ناخواسته‌ای از جمله افت کارایی عملیات آستمپرینگ چدن‌های نشکن می‌شود [۱۱ و ۱۲].

بررسیهای انجام شده حاکی از جدایش نرمال عناصر کاربیدزا از قبیل Cr، Mn و غیره به مناطق بین‌سلولی و جدایش معکوس عناصر گرافیتزا مثل Si، Ni، Cu وغیره به نواحی اطراف کره‌های گرافیتی می‌باشد [۱۳ و ۱۴]. جدایش عناصر آلیاژی موجب مشکلاتی از قبیل حلالت غیریکنواخت کربن در زمینه چدن

۱- قابلیت آستمپرپذیری: قابلیت تشکیل ساختار آسفریت در نواحی داخلی نمونه چدن نشکن تعریف می‌شود.

نشکن شده که باعث اختلاف در سختی پذیری و در نتیجه سینتیک غیریکسان استحاله آستمپرینگ در نواحی مختلف زمینه می‌شود [۱۱-۱۵]. مطالعات زیادی در مورد تاثیرات ناخواسته جدایش عناصر آلیاژی بر خواص مکانیکی ADI صورت پذیرفته است. مثلاً بررسی‌های Lin و همکارانش [۱۲] نشان داد هرچند جدایش عناصر آلیاژی در چدن نشکن تاثیر زیادی بر سختی ندارد اما به شدت موجب افت چرمگی و استحکام ضربه‌ی این مواد می‌شود.

مطالعات انجام شده دلالت بر ناکارآمدی روش‌های سنتی همگن‌سازی در حذف جدایش از زمینه چدن‌های نشکن دارد [۱۸-۱۶]. بنابراین در این پژوهش عملیات همگن‌سازی از طریق ذوب جزئی برای کاهش و حذف جدایش از زمینه چدن‌های نشکن و تاثیر عملیات همگن‌سازی بر خواص مکانیکی نمونه‌ها مورد ارزیابی و مطالعه واقع شد. در عملیات همگن‌سازی از طریق ذوب جزئی [۱۹] نمونه تا دمای بالاتر از درجه حرارت خط جامد (Solidus) حرارت داده شده که شرایط برای تشکیل حوضچه‌ی فاز مذاب در مناطقی از زمینه ایجاد می‌شود. نفوذ سریعتر عناصر آلیاژی در فاز مذاب نسبت به نفوذ در فاز جامد موجب کاهش قابل ملاحظه جدایش از زمینه می‌شود.

## ۲- مواد و روش تحقیق

چدن نشکن مورد استفاده در این پژوهش با ترکیب شیمیایی Fe-0.29C-2.4Si-1.04Mn-0.035Mg wt% به فرم بلوک‌های Y شکل در قالب  $\text{CO}_2$  ریخته‌گری شد. عملیات کروی نمودن گرافیت‌ها با استفاده از فروسیلیس منیزیم (Fe:49%-Si:45%-Mg:6%) به روش ساندویچی در پاتیل و عملیات جوانهزنی توسط جوانهزنی فروسیلیس (Fe:80-Si20) انجام شد.

به منظور مطالعه شرایط همگن‌سازی از طریق ذوب جزئی نمونه‌هایی با ابعاد  $10 \times 10 \times 10 \text{ mm}$  از شمش ریختگی برش زده شد و در محدوده دمایی  $1100-1150^\circ\text{C}$  در رنج زمانی 10-180min مورد عملیات همگن‌سازی واقع شد. در ادامه برای بررسی تاثیر عملیات همگن‌سازی بر کارایی عملیات حرارتی آستمپرینگ، نمونه‌هایی در دو وضعیت همگن‌شده (مطابق با شرایط بهینه همگن‌سازی) و همگن نشده مورد عملیات آستمپرینگ (آستینیت نمودن  $900^\circ\text{C}/90\text{min}$  و سریع سرد کردن در حمام نمک آستمپرینگ با دمای  $375^\circ\text{C}$  و نگهداری به مدت 120min در حمام و سپس سرد کردن در هوا تا دمای محیط) واقع شدند.

بعد از هر مرحله همگن‌سازی و آستمپرینگ، نمونه‌های مورد نظر مطابق با اصول استاندارد متالوگرافی آماده‌سازی سطحی شدند و توسط محلول اچانت نایتال ۲٪ ( $98\text{cc} \text{CH}_3\text{OH} + 2\text{cc} \text{HNO}_3$ ) به مدت 3-4sec حکاکی شیمیایی شده و مورد مطالعات ریزساختاری واقع شدند. مطالعات ریزساختاری توسط میکروسکوپ نوری و میکروسکوپ الکترونی روبشی (SEM) مدل XL30 و ولتاژ شتاب دهنده 20 KV انجام شد.

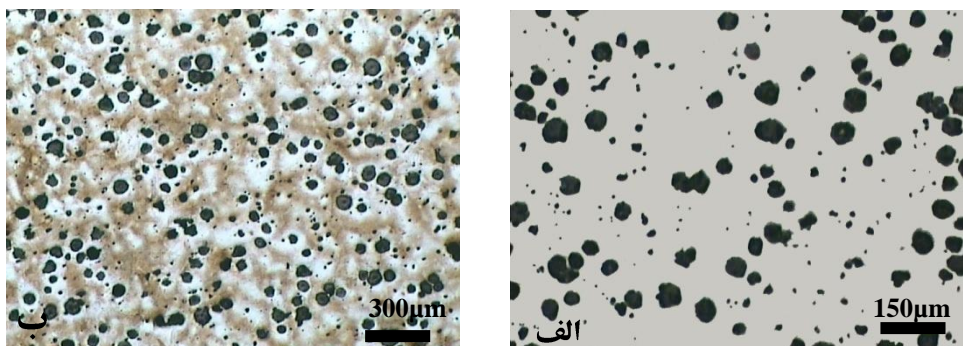
برای مطالعه کمی و کیفی فازهای نمونه‌ها از آنالیز فازی XRD استفاده شد. آنالیز XRD توسط دستگاه XPERT و با استفاده از پرتوی تکرنگ Cu- $\text{ka}$  در محدوده  $10^{\circ}\text{-}100^{\circ}$  با نرخ پیشروی  $0.05^{\circ}/\text{sec}$  صورت گرفت.

از دو آزمون کشش و ضربه برای ارزیابی تاثیر عملیات حرارتی همگنسازی به روش ذوب جزئی بر خواص مکانیکی نمونه‌ها استفاده شد. نمونه‌های کشش مطابق استاندارد ASTM E-8 ساخته و با نرخ کرنش  $1\text{mm/min}$  مورد آزمون کشش واقع شدند. نمونه‌های آزمون ضربه با ابعاد  $10\times 55\text{mm}$  بدون ناچ مطابق با استاندارد ASTM A326-80 تهیه و در دمای محیط مورد آزمون ضربه واقع شدند.

### ۳- نتایج و بحث

#### ۳-۱- مطالعه ریزساختاری نمونه ریختگی

ریزساختار چدن نشکن ریخته‌گری شده در شکل ۱ ارائه شده است. ساختار چدن نشکن عمدتاً شامل کره‌های گرافیتی با درصد کرویت  $90\pm 5\%$  (شکل ۱-الف) احاطه شده در غلافی از فریت و زمینه پرلیتی (شکل ۱-ب) می‌باشد. تهی شدن کربن در مجاورت کره‌های گرافیتی موجب ایجاد بستر مناسب برای تشکیل فریت اطراف گرافیت شده است. اختلاف کتراست رنگ در شکل ۱-ب دلالت بر توزیع غیریکنواخت عناصر آلیاژی در زمینه و در نتیجه تفاوت در اچ شدن نواحی مختلف ریزساختار نمونه ریختگی دارد.



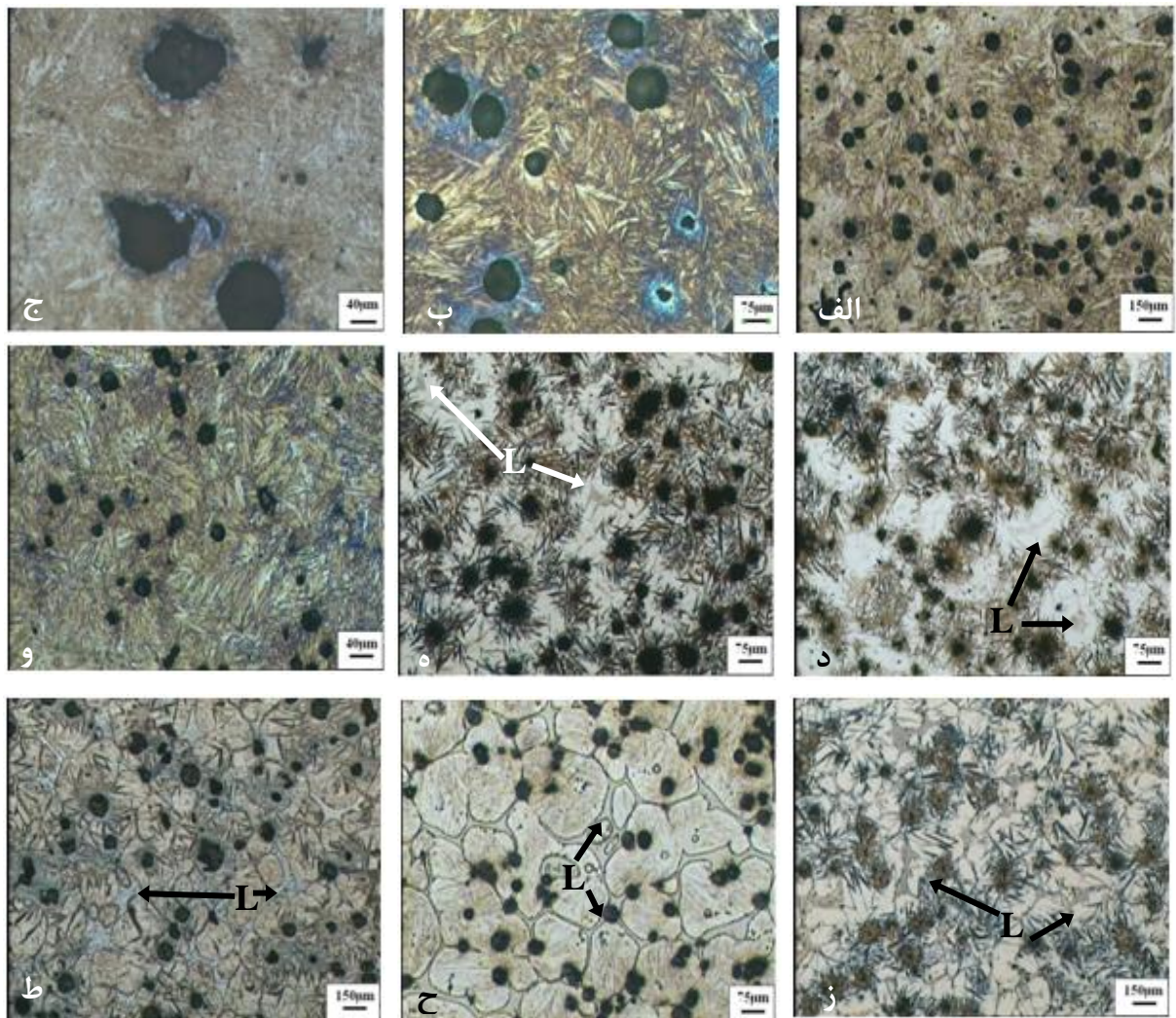
شکل ۱. ساختار نمونه ریختگی چدن نشکن (الف) قبل از اچ (ب) بعد از اچ.

#### ۲-۳- عملیات همگنسازی از طریق ذوب جزئی

تأثیر دما و زمان همگنسازی از طریق ذوب جزئی بر تغییرات ریزساختاری زمینه چدن نشکن در شکل ۲ نشان داده شده است. از نکات قابل توجه در این شکل تشکیل حوضچه‌های حاوی فاز مذاب در نمونه‌های همگن شده در دماهای بالاتر از  $1110^{\circ}\text{C}$  می‌باشد. حوضچه‌های مذاب عمدتاً در مناطق بین‌دندانی (نواحی بین کره‌های گرافیتی) تشکیل شده که می‌توان به پایین‌تر بودن درجه حرارت یوتکتیک در این مناطق نسبت به دمای یوتکتیک بقیه قسمتها نسبت داد. کمتر بودن درجه حرارت یوتکتیک در مناطق بین کره‌های گرافیتی در

نتیجه جدایش نرمال عناصر کاربیدزا از قبیل (Mo، Mn و Cr) و تجمع آنها در مناطق بین گرافیتی می‌باشد [۱۳]. در این حالت با توجه به روابط تجربی ارائه شده در مورد تغییرات درجه حرارت یوتکنیک بر حسب ترکیب شیمیایی (رابطه ۲) می‌توان پیش‌بینی نمود افزایش غلظت عناصر کاربیدزا در نواحی بین گرافیتی موجب کاهش درجه حرارت یوتکنیک در این نواحی می‌شود. از طرفی جدایش معکوس عناصر گرافیتزا (از قبیل Al، Ni و Si) موجب افزایش درجه حرارت یوتکنیک در نواحی اطراف کره‌های گرافیتی می‌گردد.

$$T_E = 1148 + (4 \times \%Si) + (5 \times \%Cu) + (8 \times \%Al) + (4 \times \%Ni) - (2 \times \%Mn) \quad (2)$$

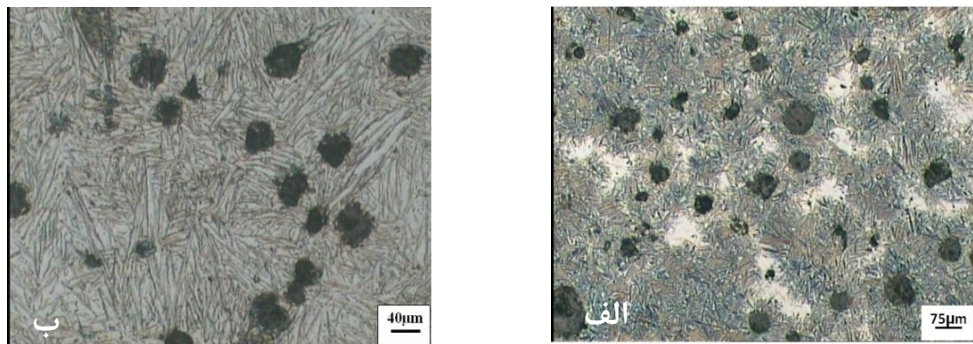


شکل ۲. ریزساختار نمونه‌های همگن شده (الف)، (ب)، (ال)، (ج)، (د)، (و)، (ذ)، (ط)، (ب)، (ح)، (د). L: فاز لدبوریت (حوضچه‌ی فاز مذاب). همانگونه که در شکل ۲-د-و مشاهده می‌شود با افزایش مدت زمان همگن‌سازی تا حدود 45min ۱۱۲۰°C/30min (د)، ۱۱۲۰°C/45min (و)، ۱۱۲۰°C/10min (ذ)، ۱۱۴۰°C/30min (ط)، ۱۱۴۰°C/10min (ب)، ۱۱۱۰°C/30min (ح)، ۱۱۱۰°C/10min (ب)، ۱۱۱۰°C/45min (ج)، ۱۱۱۰°C/10min (ال) و ۱۱۲۰°C/45min (ذ) در نمونه‌های همگن شده در دمای ۱۱۲۰°C منجمد می‌شود (انجماد همدما). مکانیزم انجماد همدما را می‌توان به تغییر ترکیب شیمیایی حوضچه‌های مذاب با افزایش مدت زمان نگهداری

در دمای همگن‌سازی در نتیجه نفوذ درهم بین فاز مذاب و جامد اطراف آن نسبت داد. بعارت دیگر پس زده شدن عناصر کاربیدزا از حوضچه‌های مذاب به فاز جامد اطراف و ورود عناصر گرافیتزا از فاز جامد اطراف به حوضچه‌های مذاب موجب افزایش درجه حرارت یوتکتیک فاز مذاب و در نتیجه کاهش تدریجی حجم فاز مذاب در نمونه‌ها را باعث می‌شود. افزایش مدت زمان نگهداری نمونه‌ها در دمای همگن‌سازی موجب پیشروی انجاماد همدماء و تکمیل انجاماد فاز مذاب می‌شود.

حضور فاز لدبوریت در مناطق بین کره‌های گرافیتی در نمونه همگن شده در دمای  $1140^{\circ}\text{C}$  به مدت 60min(شکل ۲-ط) دلالت بر عدم تکمیل انجاماد همدماء در این نمونه دارد. بررسیهای بیشتر نیز حکایت از عدم تکمیل انجاماد در این نمونه بعد از حدود 6hr نگهداری در دمای  $1140^{\circ}\text{C}$  داشت. عدم تکمیل انجاماد همدماء در این نمونه به دلیل بالا بودن بیش از حد دمای همگن‌سازی است. بعارت دیگر افزایش دمای یوتکتیک در نتیجه نفوذ درهم عناصر آلیاژی در این حالت نمی‌تواند باعث فراهم شدن شرایط لازم برای تکمیل انجاماد همدماء شود.

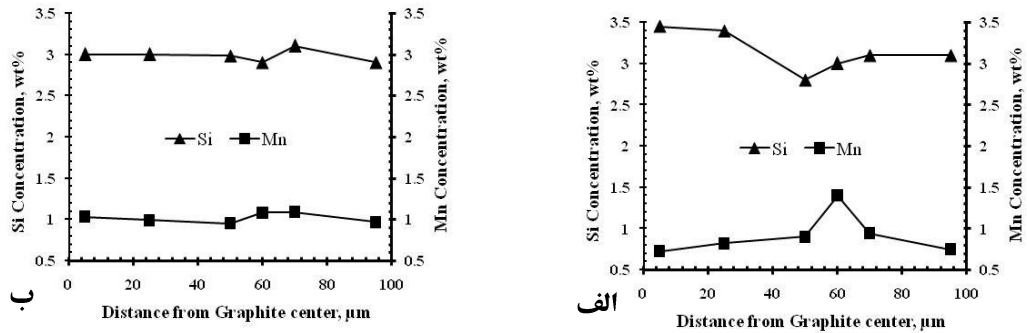
۳-۳- تاثیر عملیات همگن‌سازی از طریق ذوب جزئی بر کارایی عملیات آستمپرینگ  
در شکل ۳ تاثیر عملیات همگن‌سازی از طریق ذوب جزئی بر ریزساختار نمونه‌های ADI نشان داده شده است.



شکل ۳. ریزساختار چدن نشکن آستمپر شده قبل از عملیات همگن‌سازی (الف). ریزساختار چدن نشکن آستمپر شده بعد از عملیات همگن‌سازی در دمای  $1120^{\circ}\text{C}/2\text{hr}$  (ب).

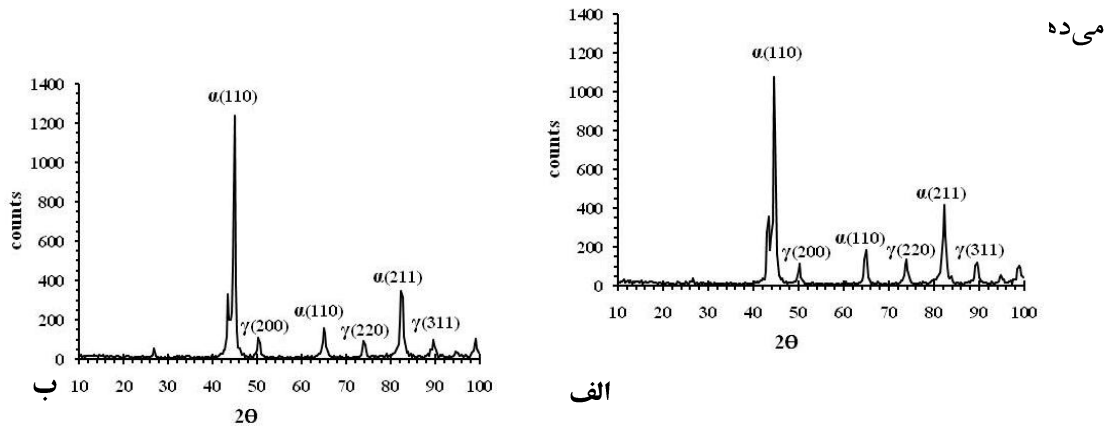
همانگونه که در شکل ۳ دیده می‌شود اعمال عملیات آستمپرینگ بر نمونه ریختگی همگن نشده (نمونه خام) موجب ایجاد یک ساختار غیریکدست و تشکیل مقادیر قابل ملاحظه‌ای آستنیت باقیمانده ناپایدار در نواحی بین گرافیتی می‌شود (شکل ۳-الف، ب). غیریکنواختی در ریزساختار نمونه ریختگی آستمپر شده در نتیجه توزیع غیریکنواخت عناصر آلیاژی و سختی‌پذیری متفاوت نواحی مختلف زمینه می‌باشد. تجمع Mn در مناطق بین کره‌های گرافیتی موجب افزایش سختی‌پذیری این ناحیه و به تأخیر افتادن استحاله آستمپرینگ در نواحی

بین کره‌های گرافیتی می‌گردد. در مقابل نمونه همگن و آستمپر شده دارای ساختاری کاملاً یکدست می‌باشد (شکل ۳ج) که اشاره بر توزیع نسبتاً یکنواخت عناصر آلیاژی و در نتیجه سختی پذیری یکسان نواحی مختلف زمینه دارد. مطالعه توزیع ترکیب شیمیایی در نواحی بین کره‌های گرافیتی نیز دلالت بر کارآمدی عملیات همگن‌سازی در کاهش جدایش از زمینه چدن نشکن داشت.



شکل ۴. پروفیل غلظتی عناصر آلیاژی بین دو کره گرافیتی. الف) بدون همگن‌سازی ب) بعد از همگن‌سازی.

شکل ۵ نتایج آزمون فازی XRD بر نمونه‌های ADI در دو وضعیت همگن شده و همگن نشده را نشان



شکل ۵. الگوی تفرق پرتو x (الف) آنالیز نمونه همگن نشده ب) آنالیز نمونه همگن شده در دمای 1120/2hr

محاسبه مقادیر دو فاز  $\alpha$  و  $\gamma$  در این نمونه‌ها توسط روابط ۳-۵ و با استفاده از صفحات  $\alpha$ (110)،  $\alpha$ (211)،  $\gamma$ (311) و  $\gamma$ (220) انجام شد. مطالعات XRD به همراه بررسیهای آنالیز گر تصویری حاکی از افزایش مقدار فریت در ADI بعد از همگن‌سازی به میزان ~37% و همچنین کاهش قابل ملاحظه مقدار آستنیت باقیمانده استحاله نیافته در نمونه‌های همگن شده بود.

$$\frac{R_\alpha}{R_\gamma} * \frac{I_\gamma}{I_\alpha} = \frac{C_\gamma}{C_\alpha} \quad (3)$$

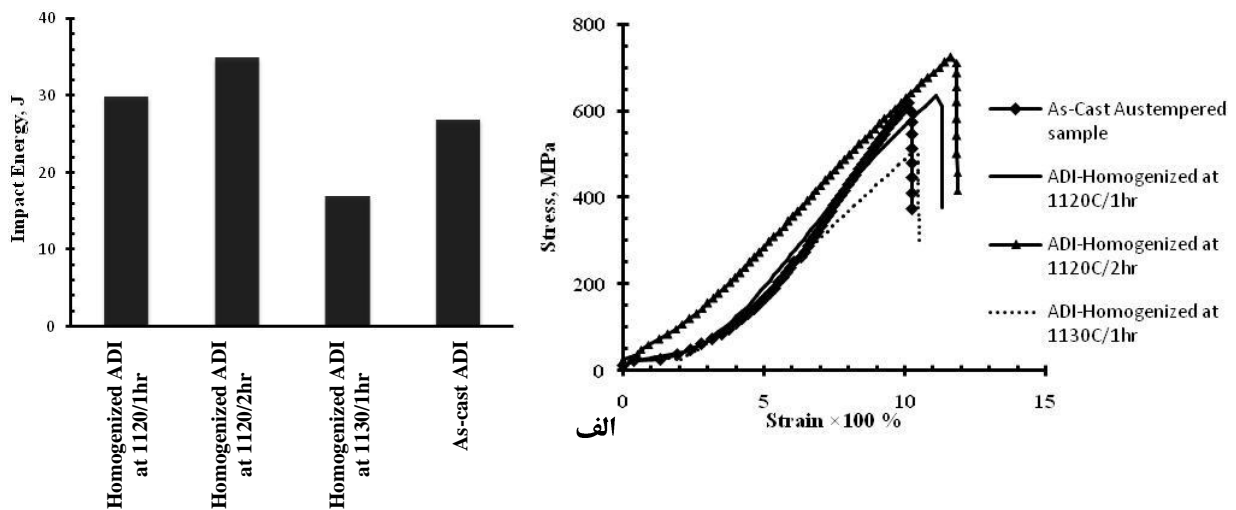
$$R = \left[ P * F^2 * \left( \frac{1 + \cos 2\theta^2}{\cos \theta * \sin \theta^2} \right) * e^{-2M} \right] * \frac{1}{V^2} \quad (4)$$

$$C_\gamma + C_\alpha = \frac{1}{1} \quad (5)$$

در این روابط مقدار I شدت پرتو،  $C_x$  کسر حجمی فاز x، P فاکتور چندگانه، F فاکتور ساختاری، V حجم سلول واحد و  $e^{2M}$  فاکتور دما و اندیشهای  $\alpha$  و  $\gamma$  به ترتیب میان فازهای فریت و آستنیت می‌باشد [۲۰].

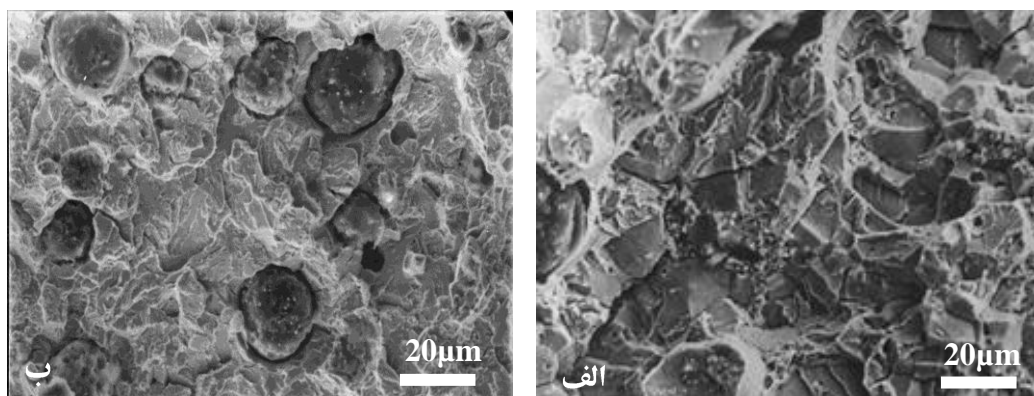
#### ۴-۳- ارزیابی خواص مکانیکی نمونه‌ها

نتایج حاصل از مطالعه استحکام ضربه و کششی نمونه‌ها در شکل ۶ ارائه شده است. همانطوریکه از این شکل استنباط می‌شود، شرایط همگن‌سازی تاثیر زیادی بر انرژی ضربه و خواص کششی ADI دارد. بهبود استحکام ضربه و خواص کششی نمونه‌ها بعد از عملیات همگن‌سازی در شرایط  $1120^\circ\text{C}/2\text{ hr}$  را می‌توان به توزیع یکنواخت عناصر کاربیدزا و یکدستی ساختار نسبت داد که در همخوانی با مطالعات ریزساختاری انجام شده است. افت استحکام کششی در نمونه همگن شده در دمای  $1130^\circ\text{C}/1\text{hr}$  احتمالاً بعلت رشد دانه در این نمونه و یا عدم تکمیل انجام داده ممکن است.



شکل ۶. تأثیر عملیات همگن‌سازی بر خواص مکانیکی ADI. (الف) نمودار نش-کرنش ب) استحکام ضربه.

بررسی سطوح شکست نمونه‌های همگن نشده و همگن شده نیز مؤید افزایش داکتیلیتی و افزایش درصد شکست نرم در نمونه‌ها بعد از عملیات همگن‌سازی از طریق ذوب جزئی می‌باشد. حضور نواحی شبه کلیوژر در سطح مقطع نمونه همگن نشده دلالت بر تغییر شکل پلاستیک کم در این نمونه دارد (شکل ۷-الف). وجود نواحی شبه دیمپل و ناهمواریهای زیاد سطحی در سطح شکست نمونه همگن شده (شکل ۷-ب) در همخوانی با انرژی ضربه و استحکام کششی بیشتر این نمونه در مقایسه با مقادیر مرتبه نمونه همگن نشده دارد.



شکل ۷. سطوح شکست نمونه ADI، (الف) بدون عملیات همگن‌سازی (ب) بعد از عملیات همگن‌سازی.

#### ۴- نتیجه‌گیری

در این پژوهش عملیات همگن‌سازی از طریق ذوب جزئی نمونه‌های چدن نشکن و تاثیر عملیات مذکور بر کارایی عملیات آستمپرینگ و خواص مکانیکی نمونه‌ها مورد ارزیابی و مطالعه واقع شد که نتایج زیر را می‌توان بعنوان مهمترین نتایج حاصل از این پژوهش بیان نمود.

۱. عملیات همگن‌سازی از طریق ذوب جزئی با کاهش جدایش عناصر آلیاژی موجب بهبود کارایی عملیات آستمپرینگ چدن نشکن آستمپر شده می‌شود.
۲. بر اساس آزمایشات انجام شده در این پژوهش، بهترین شرایط برای همگن‌سازی از طریق ذوب جزئی نمونه‌های مورد استفاده در این پژوهش محدوده دمایی  $1120 \pm 10^\circ\text{C}$  به مدت  $120 \pm 10$  min می‌باشد.
۳. عملیات همگن‌سازی از طریق ذوب جزئی موجب کاهش مقدار آستنیت باقیمانده استحاله نیافته و توزیع یکنواخت فاز آسفریت در مناطق مختلف زمینه چدن نشکن آستمپر شده گردید.
۴. بهبود استحکام ضربه و استحکام کششی ADI به ترتیب تا حدود ۱۷% و ۲۹% توسط عملیات همگن‌سازی از طریق ذوب جزئی حاصل شد.

## ۵- مراجع

- 1- K.L. Hayrenen, D.J. Moore, and K.B. Rundman, "Tensile and Fatigue Properties of Relatively Pure ADI," Trans. AFS, 1992, v.100, pp. 93-104.
- 2- J. Zimba , D.J. Simbi and E. Navara, "Austempered Ductile Iron: an Alternative Material for Earth Moving Components", Cement & Concrete Composites, vol. 25, 2003, pp. 643-649.
- 3- D.J. Moore, T.N. Rouns, and K.B. Rundman: "Structure and Mechanical Properties of Austempered Ductile Iron," Trans. AFS, 1985, v.103, pp. 705-18.
- 4- T.S. Shih, C.S. Chang, and L.Z. Haung: "Mechanical Properties and Microstructures of Austempered Ductile Iron," Trans. AFS, 1991, v.107, pp. 793-808.
- 5- J. Aranjbal, I. Gutierrez, J.M. Rodriguez-Ibane, and J.J. Uroclla: "Influence of Heat Treatments on Microstructure and Toughness of Austempered Ductile Iron," Mater. Sci. Technol., 1992, 11, pp. 263-73.
- 6- J. Achary and D. Venugopalan, "Microstructural development and austempering kinetics of ductile iron during thermo-mechanical processing", Metallurgical and Materials Transactions A, v.13, n.10, pp. 2575-2585
- 7- J.R. Davis(Edited), "ASM Specialty Handbook Cast Irons", ASM International Publication, New York, 1996.
- 8- S.K. Putatunda and K.P. Gadricherla, "Effect of Austempering Time on Mechanical Properties of a low Manganese Austempered Ductile Iron", Journal of Materials Engineering and Performance, v. 9, 2000, pp. 193-203.
- 9- B. Bosnjak, V. Asanovic, B. Radulovic and K. Pop-Tonev, "Influence of microalloying and heat treatment on the kinetics of bainitic reaction in ADI", Journal of Materials Engineering and Performance, 2003, v.10, n.2,pp.203-211.
- 10- T. Shiokawa, "The Influence of Alloying Elements and Heat Treatment Condition on the Microstructure and Mechanical Properties of Austempered Ductile Iron", In: Proceedings of the 3rd International Conference on ADI. Chicago: Bloomingdale; 1991,pp. 375-87.
- 11-15- N. Darwish and R. Elliott, "Austempering of low Manganese Ductile Irons. Part 3: Variation of Mechanical Properties with Heat Treatment Conditions", Materials Science and Technology, vol. 9, no 10, Oct. 1993, pp. 882-889.
- 12- B.Y. Lin, E.T. Chen, and T.S. Lei, "The effect of segregation on the austempering transformation and toughness of ductile irons." Journal of Materials Engineering and Performance, 1998, v. 7, n. 3, pp. 407-419.
- 13- B. Kovacs, "The effects of alloying elements and their segregation in ADI." Proc. 2<sup>ed</sup> Int. Conf. on Austempered Ductile Iron, New York, USA, 1991, v. 1, pp. 241-252.
- 14- A. Owbadhi, J. Hedjazi, P. Davami, M. Fazeli and J.M. Shabestari, "Microsegregation of manganese and silicon in high manganese ductile iron." Materials Science and Technology, 1997, v. 13, pp. 813-817.
- 15- D.J. Moore, T.N. Rouns and K.B. Rundman, "Effect of Heat Treatment, Mechanical Deformation and Alloying Element additions on the Rate of Bainite Formation in ADIs", Journal of Heat Treating, 1985, v.4, n.1, pp. 7-24.
- 16- E. Dorazil, "High strength austempered ductile cast iron." 1<sup>st</sup> Ed. Eills Horwood Publication, 1991, London PP. 128-215.
- 17- G. Jolley, M.L. Grad, G.N.J. Gilbert, and G. Mesh, "Segregation in nodular iron and its influence on mechanical properties." The British Foundryman 1967, pp. 72-97.
- 18- J. Lacaze, A. Boudot, V. Gerval, D.Oquab and H.Santos, "The role of Mn and Cu in the eutectoid transformation of spheroidal graphite cast iron." Metallurgical and Materials Transaction A, 1997, v. 28A, pp. 2015-2025.
- 19- G. R. Purdy, D.V. Malakhov and A. Guha, "Homogenization of multicomponent alloy via partial melting." *Journal of Phase Equilibria*, 2001, v. 22, n. 4, pp. 439-450.
- 20- .D. Cullity, "Elements of X-Ray Diffraction", Addison Wesley Publishing Company, MA, 1956, pp. 390-96.